

Evaluasi Tebal Lapis Tambah (Overlay) dengan Metode AASHTO 1993 dengan Data FWD

Muhammad Husin Gultom¹, Randi Gunawan², Vanisa Gustiawan³

Program Studi Teknik Sipil, Fakultas Teknik Universitas Muhammadiyah Sumatera Utara

Email : m.husingultom@umsu.ac.id

ABSTRACT

Analysis of the condition of the pavement structure with deflection data from the FWD (Falling Weight Deflectometer) measurement tool is to evaluate the strength of the installed pavement structure which is non-destructive (non-destructive test). The purpose of this study was to evaluate the thickness of the extra layer of flexible pavement using the Method AASHTO 1993 in the case study of the Binjai Outer Ring Road section. Using the planned ESAL from 2021 to 2031 of 22.985.580 on the Binjai Outer Ring Road section, the Method AASHTO 1993 which produces an overlay on the Binjai Ring Road section of 9,92 cm. in the analysis of structural condition, FWD (Falling Weight Deflectometer) deflection data is used to calculate several variables in the Method AASHTO 1993, namely: the value of the Resilience Modulus of subgrade (M_R), the value of the Effective Modulus above the subgrade (E_p). Then the calculation is continued by using the pavement table data and PSI values to get the Structural Number Original (SN_O), actual cumulative ESAL. Structural Number Effective (SN_{eff}), pavement remaining life and Structural Number in Future (SN_f). Assuming the thickness of the pavement layer affects the value of Elasticity Modulus during the back calculation process. This result also determines the value of the Elasticity Modulus taken at a distance that meets the requirements of $r \geq 0,7 a_e$ which will affect the values of (SN_{eff}) and (SN_f) which are then used to determine the thickness of the overlay.

Kata Kunci: Overlay thickness; method AASHTO 1993; deflection data FWD.

1. PENDAHULUAN

Peningkatan pertumbuhan kendaraan baik dari segi jumlah dan beban kendaraan yang diangkut sehingga melebihi batas yang diizinkan, mengakibatkan kerusakan pada kondisi struktur perkerasan jalan[1]. Untuk mengatasi kerusakan tersebut, diperlukan usaha-usaha pembinaan yang tepat untuk menjaga kondisi jalan agar tetap pada tingkat pelayanan yang diinginkan. Salah satu usaha yang dilakukan dalam melakukan perbaikan atau pemeliharaan agar kondisi jalan yang ada tetap terjaga adalah dengan pelaksanaan lapis tambah perkerasan (*Overlay*)[2][3].

Overlay adalah lapis perkerasan tambahan yang dipasang di atas struktur perkerasan yang ada agar dapat melayani lalu lintas yang didesain selama kurun waktu yang akan datang. *Overlay* digunakan jika umur rencana struktur perkerasan sudah tercapai sebagai pemeliharaan jalan atau jika kondisi struktur perkerasan sudah menurun[4], yaitu tegangan yang terjadi pada struktur perkerasan sudah melebihi tegangan izinnya sehingga perlu dibuat lapisan baru yang dapat mendukung kerja struktur perkerasan tersebut[5].

Metode yang dapat dilakukan untuk menentukan tingkat kemampuan perkerasan dalam menerima beban lalu lintas adalah dengan menghitung besarnya lendutan yang terjadi akibat pembebanan. Besarnya lendutan pada permukaan jalan dipengaruhi oleh Relatif Stiffness dari komponen – komponen pembentuk konstruksi, yaitu harga Modulus Elastisitas Bahan tiap lapisan atau juga keseluruhan[6][7]. Faktor – faktor yang menentukan adalah besarnya beban dan intensitas lalu lintas serta pengaruh alam terhadap struktur perkerasan[8]. Untuk memenuhi penyelenggaraan, pemulihan dan perbaikan sistem perkerasan diperlukan suatu metode pengujian yang sesuai. Pendekatan melalui Metode AASHTO 1993 dan pengujian berdasarkan metode lendutan yang menggunakan

alat *Falling Weight Deflectometer* (FWD) [9] dapat memenuhi kebutuhan ini. Alat FWD adalah alat yang dipakai untuk melakukan evaluasi kekuatan struktur perkerasan dan bersifat tidak merusak (*Non-Destructive Test*). Dari nilai lendutan yang dihasilkan alat FWD dapat mengevaluasi nilai yang didapat dan digunakan untuk mendesain *overlay* (AASHTO,1993).

2. METODOLOGI PENELITIAN

Metode penelitian yang digunakan dibagi menjadi beberapa tahapan kegiatan yaitu :

- a. Tahap persiapan, yaitu menyiapkan bahan dan data-data apa saja yang akan dipergunakan
- b. Tahap pengumpulan data
 1. Data volume lalu lintas harian rata – rata (LHR), untuk menghitung besarnya beban lalu lintas dalam satuan ESA yang akan dipikul oleh perkerasan jalan sesuai dengan umur rencana yang disyaratkan. Data perkerasan jalan yang akan digunakan untuk menghitung nilai Structural Number effective SN_{eff} .
 2. Data struktur perkerasan, yaitu tebal perkerasan,
 3. Data lendutan yang digunakan untuk perhitungan tebal lapisan perkerasan adalah data lendutan pada ruas jalan Lingkar Luar Binjai melalui pengukuran alat FWD. Data yang diperoleh dari alat ini yaitu data lendutan D_1 - D_7 yang menggunakan 7 geophone.

Bagan alir penelitian dapat terlihat seperti pada gambar 1

- c. Tahap Analisa Data

1. Perhitungan beban lalu lintas dilakukan dengan menggunakan umur rencana selama sepuluh tahun dan pertumbuhan lalu lintas sebesar 4,83% sesuai dengan petunjuk dari Manual Desai Perkerasan Jalan (MDP) 2017
2. Penentuan Modulus Resilient, dari hasil pengujian defleksi dengan alat uji FWD, *Modulus Resilient* (MR) dihitung dengan menggunakan persamaan

$$M_R = C \frac{0,24 P}{d_r r}$$

Dimana :

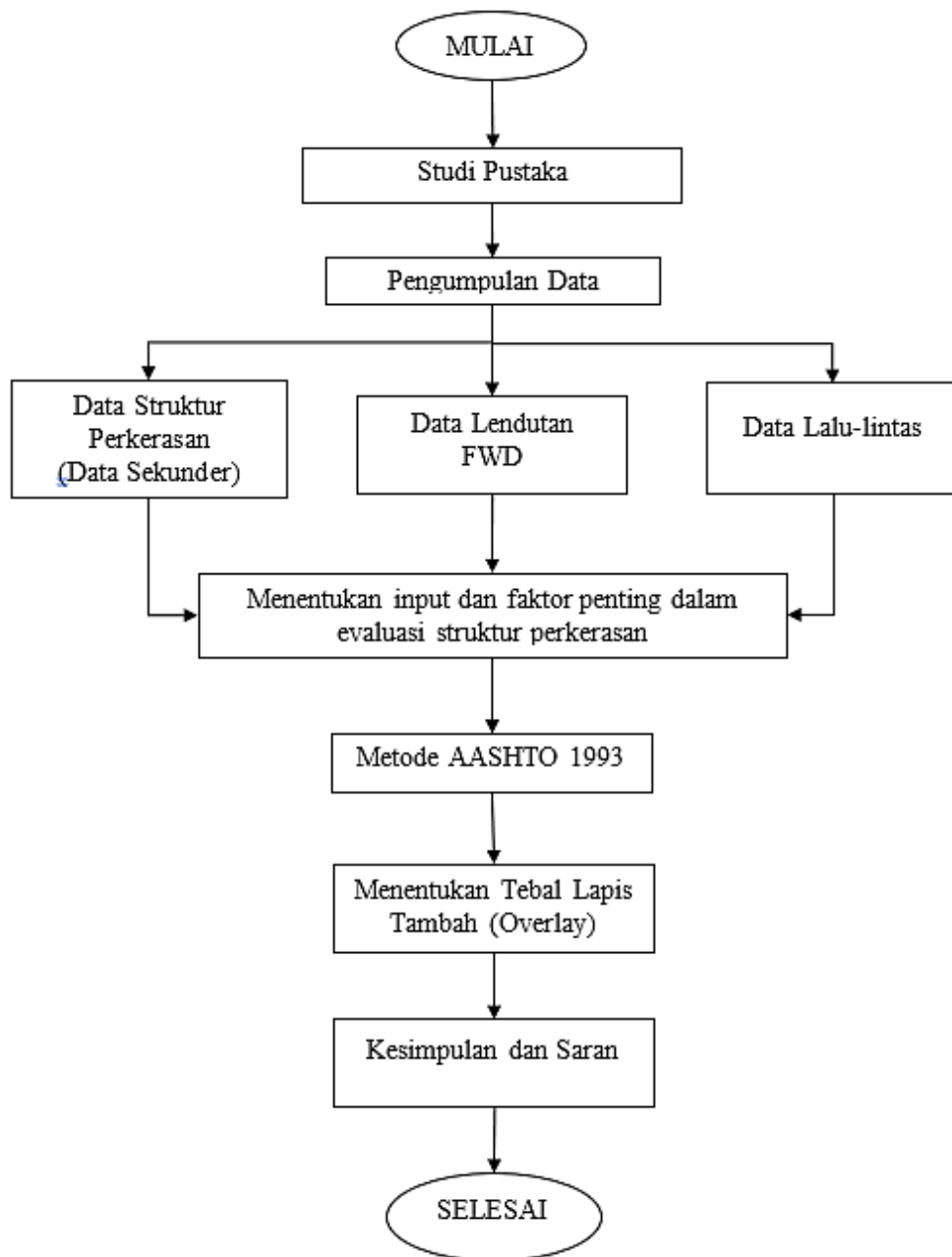
MR = modulus resilient tanah dasar, psi

P = Beban, lbs

d_r = lendutan pada jarak r dari pusat pembebanan, inci

r = jarak dari pusat pembebanan, inci

Jarak minimum pengukuran lendutan untuk estimasi *modulus resilien* tanah dasar adalah : $r > 0.7 ae$



Gambar 1. Bagan Alir Penelitian

$$3. \quad a_e = \sqrt{a^2 + \left(D \sqrt[3]{\frac{E_p}{M_R}}\right)^2}$$

Dimana :

A_e = jari-jari gelembung tegangan pada permukaan batas antara tanah dasar dan struktur perkerasan, inci

a = jari-jari pelat pembebanan, inci

D = tebal total lapisan perkerasan di atas tanah dasar, inci

E_p = modulus efektif seluruh lapisan struktur perkerasan di atas tanah dasar, psi.

4. Modulus efektif perkerasan (E_p)

$$d_0 = 1,5 p a \left[\frac{1}{M_R \sqrt{1 + \left(\frac{D}{a} \sqrt[3]{\frac{E_p}{M_R}} \right)^2}} + \left\{ 1 - \frac{1}{\sqrt{1 + \left(\frac{D}{a} \right)^2}} \right\} \right]$$

Dimana :

d_0 = lendutan yang diukur pada pusat pembebanan dan untuk temperatur standar 680F , inci

p = tegangan pada pelat pembebanan, psi

a = jari-jari pelat pembebanan, inci

D = tebal total lapisan perkerasan di atas tanah dasar, inci

E_p = modulus efektif seluruh lapisan perkerasan di atas tanah dasar (psi)

5. Modulus resilien tanah dasar untuk perencanaan

$$M_{Rdesain} = C \frac{0,24 P}{d_r r}$$

Dimana $C = 0.33$ 6. Indeks tebal perkerasan efektif $SN_{eff} = 0,0045 D \sqrt[3]{E_p}$

Dimana :

D = tebal total lapisan perkerasan di atas tanah dasar, inci

E_p = modulus efektif seluruh lapisan struktur perkerasan di atas tanah dasar, psi

7. Perhitungan tebal lapis tambah $D_{ol} = \frac{SN_{ol}}{a_{ol}} = \frac{(SN_f - SN_{eff})}{a_{ol}}$

Dimana :

SN_{eff} = SN yang dibutuhkan untuk *overlay*

a_{ol} = koefisien kekuatan relatif

D_{ol} = Tebal lapis tambah inch

SN_f = Struktural Number dibutuhkan

SN_{eff} = Struktural Number yang ada

3. HASIL DAN PEMBAHASAN

Data Lalu-lintas Harian Rata-rata (LHR)

Survei lalu lintas dilakukan pada tanggal 25 Juli 2021 pada ruas jalan Lingkar Luar Binjai. Data ini merupakan data sekunder yang diperoleh dari Balai Besar Pelaksanaan Jalan Nasional Sumatera Utara, dengan data sebagai berikut :

Tabel 1. Hasil Pengujian Nilai Kalor Bio Etanol Tebu

| GOLONGAN | 1 | 2 | 3 | 4 | 5a | 5b | 6a | 6b | 7a1 | 7a2 | 7c1 |
|----------|-----------------------------|-----------------|--------------------------|-------------|--------------|--------------|-------------------------------|------------------------------|-------------------------------|-------------------------------|-----------------------|
| WAKTU | Sepeda Motor / Sepeda | Sedan , Jeep | Kend. Umum / oplet | pick- up | Bus Kecil | Bus Besar | Truck ringan 2 sumbu | Truck Berat 2 sumbu | Truck Ringan 3 sumbu | Truck Sedang 3 sumbu | Trailer 4 sumbu |
| SENIN | 10472 | 5343 | 629 | 1130 | 110 | 99 | 308 | 649 | 406 | 42 | 66 |

| | | | | | | | | | | | |
|------------------|--------|-------|------|-------|-----|-----|-----|-----|-----|----|----|
| SELASA | 13322 | 6742 | 792 | 1746 | 76 | 100 | 171 | 535 | 448 | 66 | 65 |
| RABU | 12442 | 6641 | 1086 | 1241 | 150 | 128 | 211 | 356 | 411 | 82 | 93 |
| KAMIS | 13877 | 6341 | 890 | 1763 | 97 | 105 | 670 | 322 | 333 | 82 | 58 |
| JUMAT | 14415 | 6382 | 902 | 1618 | 78 | 88 | 151 | 565 | 365 | 50 | 94 |
| SABTU | 12778 | 4969 | 891 | 1576 | 86 | 97 | 397 | 515 | 367 | 69 | 35 |
| MINGGU | 8764 | 6230 | 646 | 1237 | 83 | 50 | 458 | 569 | 132 | 19 | 36 |
| RATA-RATA | 12.296 | 6.093 | 834 | 1.473 | 97 | 95 | 338 | 502 | 352 | 59 | 64 |

Dilakukan analisis untuk menentukan nilai Lalulintas Harian Rata-Rata Tahunan (LHRT) dengan memperhatikan faktor musin sesuai dengan data pada tabel 2 :

$$LHRT_T = \frac{LHR_N}{P_v}$$

selang kepercayaan LHRT dinyatakan dengan persamaan

$$\frac{LHRT_T}{(1 + a C_v / 100)} \leq LHRT \leq \frac{LHRT_T}{(1 - a C_v / 100)}$$

hasil perhitungan nilai LHRT dapat terlihat pada tabel berikut 3:

Tabel 2. Faktor Minggu, N = 7 x 24 jam

| Bulan | Minggu ke 1 | | Minggu ke 2 | | Minggu ke 3 | | Minggu ke 4 | |
|-------|-------------|-------|-------------|-------|-------------|-------|-------------|-------|
| | P | Cv | P | Cv | P | Cv | P | Cv |
| 1 | 0,826 | 9,64 | 0,801 | 7,14 | 0,806 | 6,45 | 0,807 | 6,86 |
| 2 | 1,209 | 19,73 | 1,166 | 20,20 | 1,153 | 14,48 | 1,092 | 13,11 |
| 3 | 0,988 | 9,14 | 0,988 | 7,71 | 0,953 | 7,71 | 0,955 | 6,98 |
| 4 | 0,970 | 4,88 | 0,954 | 4,42 | 0,958 | 4,42 | 0,976 | 6,60 |
| 5 | 0,923 | 6,61 | 0,930 | 7,80 | 0,946 | 10,96 | 0,881 | 8,42 |
| 6 | 1,016 | 4,96 | 1,047 | 3,58 | 1,064 | 2,56 | 1,094 | 3,40 |
| 7 | 1,197 | 7,66 | 1,290 | 16,64 | 1,263 | 13,55 | 1,154 | 7,78 |
| 8 | 1,026 | 5,94 | 1,043 | 5,20 | 0,985 | 6,94 | 0,996 | 8,37 |
| 9 | 1,028 | 7,90 | 1,025 | 8,03 | 1,023 | 8,42 | 1,004 | 10,76 |
| 10 | 0,942 | 3,34 | 0,928 | 4,28 | 0,958 | 3,75 | 0,979 | 4,44 |
| 11 | 0,980 | 3,40 | 0,972 | 3,32 | 0,991 | 3,62 | 0,995 | 4,02 |
| 12 | 0,979 | 3,94 | 0,984 | 2,00 | 0,978 | 2,92 | 0,991 | 2,69 |

Survey lalu lintas dilakukan pada tanggal 25 Juli tahun 2021, yaitu bulan 7 dan minggu ke empat diperoleh nilai P = 1,254, Cv = 7,78 sehingga Lalulintas Harian Rata – Rata Tahunan (LHRT) diperoleh sebagai berikut:

Tabel 3. Hasil Perhitungan LHRT

| GOLONGAN | 1 | 2 | 3 | 4 | 5a | 5b | 6a | 6b | 7a1 | 7a2 | 7c3 |
|----------|-------|------|-----|------|----|----|-----|-----|-----|-----|-----|
| LHR | 12296 | 6093 | 834 | 1473 | 97 | 95 | 338 | 502 | 352 | 59 | 0 |
| LHRT | 10655 | 5280 | 722 | 1276 | 84 | 83 | 293 | 435 | 305 | 51 | 0 |
| < LHRT | 9245 | 4581 | 627 | 1108 | 73 | 72 | 254 | 377 | 264 | 44 | 0 |
| > LHRT | 12572 | 6229 | 852 | 1506 | 99 | 97 | 346 | 513 | 360 | 60 | 0 |

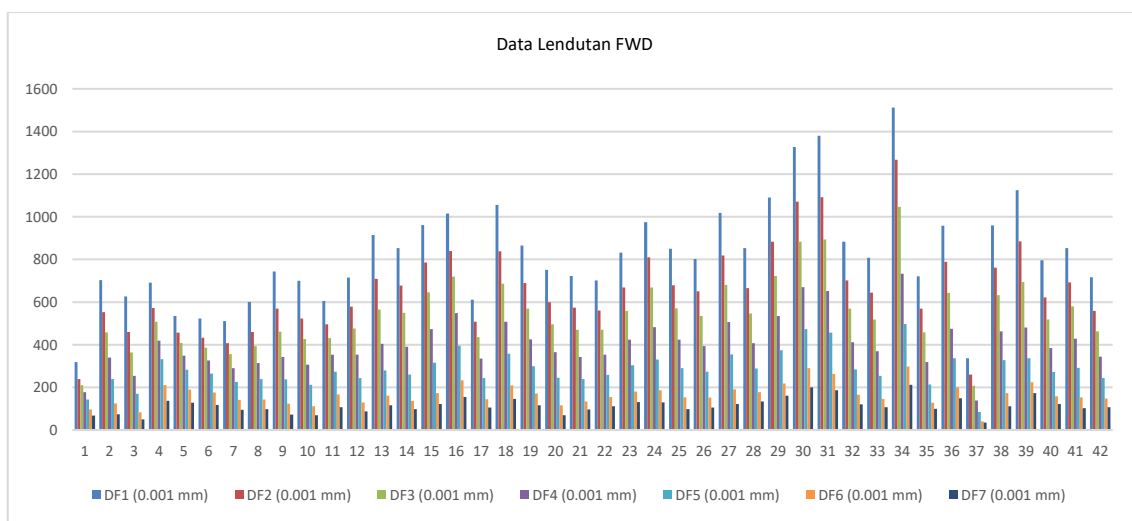
Dari hasil perhitungan LHRT, dapat diperoleh beban lalu lintas untuk kondisi normal yaitu sebesar 4.153.497.

Data Lalu-lintas Harian Rata-rata Tahunan (LHRT)

Lalu – lintas Harian rata-rata tahunan (LHRT) adalah lalu-lintas harian rata-rata yang didapat dari LHR yang disesuaikan dengan faktor musim yang dipengaruhi oleh bulan dan minggu yang memperoleh nilai $P = 1,154$ dan $Cv = 7,78\%$. maka taksiran LHRT adalah:

Data Lendutan

Data lendutan diperoleh dari alat *Falling Weight Deflectometer* (FWD). Alat ini dilengkapi dengan piringan beban berdiameter 300 mm, berat beban 4,5 ton/9000 lbs dari tinggi jatuh 315 mm. Jarak antara *deflectometer* di tempatkan antara 0, 200, 300, 450, 600, 900, 1200, 1500,dan 1800 dari pusat beban. Secara grafis, data lendutan dapat dilihat pada Gambar 2.



Gambar 2. Lendutan FWD D₁-D₇

Perhitungan Tebal Lapis Tambahan Berdasarkan Data Lendutan FWD

1. $d_r = 0,01034 \text{ inch}$
2. $P = 17,732 \text{ lbs}$
3. $r = 36 \text{ inch}$
4. $MR = 8.848,26 \text{ Psi}$
5. $\sigma = 883,03 \text{ Kpa} (128,07 \text{ Psi})$
6. $T = 35^\circ\text{C} = 95^\circ\text{F}$
7. $D = 60/2,5 = 24 \text{ inch}$
8. $TAF = 0,86$
9. $\text{do koreksi} = 0,0397 \times 0,86 = 0,0342 \text{ inch}$
10. $a = 15/2,5 = 6 \text{ inch}$
11. $E_p = 52.432 \text{ psi}$
12. $a_e = 44 \text{ inch}$
13. $C = 0,33$
14. $M_R \text{ desain} = C \times M_R = 2.919,93 \text{ psi}$
15. $0,7 a_e = 44 \times 0,7 = 30,79 \text{ inch}$

16. $SN_{eff} = 4,04 \text{ cm}$
17. Koefisien kekuatan relative campuran aspal $a = 0,4$
18. $SN_f = 5,65$
19. Nilai tebal lapis tambah (overlay) (H_L)
20. $H_L = \frac{SN_f - SN_{eff}}{a} = \frac{5,65 - 4,04}{0,4} = 3,98 \text{ inch} \approx 10 \text{ cm}$

4. KESIMPULAN

Berdasarkan hasil penelitian studi kasus dapat diambil kesimpulan sebagai berikut:

1. Metode AASHTO 1993 dapat digunakan pada evaluasi tebal lapis tambah (overlay) pada ruas jalan Lingkar Luar Binjai yang memiliki lalu-lintas harian rata-rata tinggi dengan bantuan data lendutan FWD.
2. Hasil evaluasi tebal lapis tambah perkerasan dengan menggunakan Metode AASHTO 1993 mendapatkan tebal lapis tambah (overlay) sebesar 9,92 cm untuk jalan Lingkar Luar Binjai. Nilai lendutan rata-rata yang terjadi pada geophone satu sampai tujuh yaitu 0,748 mm; 0,656 mm; 0,545 mm; 0,405 mm; 0,288 mm; 0,173 mm; dan 0,144 mm. nilai lendutan terbesar terjadi pada geophone pertama. Dari nilai lendutan tersebut mendapatkan nilai lendutan wakil sebesar 258,65 mm.

DAFTAR PUSTAKA

- [1] W. W. Ahmad Haris Fahrudin Aji, Bmbang Sugeng Subagio, Eri Susanto Hariyadi, "Evaluasi Struktural Perkerasan Lentur Menggunakan Metode AASHTO 1993 dan Metode Bina Marga 2013 Studi Kasus: Jalan Nasional Losari - Cirebon," *Jurnal Teknik Sipil ITB*, vol. 22, no. 2, pp. 147–164, 2015.
- [2] D. Rys, J. Judycki, and P. Jaskula, "Determination of Vehicles Load Equivalency Factors for Polish Catalogue of Typical Flexible and Semi-rigid Pavement Structures," *Transportation Research Procedia*, vol. 14, pp. 2382–2391, 2016, doi: <https://doi.org/10.1016/j.trpro.2016.05.272>.
- [3] A. Dan and P. Everseries, "ANALISIS PERBANDINGAN TEBAL LAPIS TAMBAH PERKERASAN LENTUR MENGGUNAKAN METODA AASHTO 1993 DAN PROGRAM EVERSERIES Faisal Gerardo 1 , Bambang Sugeng Subagio 2," pp. 47–54, 2016.
- [4] W. Jiang, D. Yuan, J. Shan, W. Ye, H. Lu, and A. Sha, "Experimental study of the performance of porous ultra-thin asphalt overlay," *International Journal of Pavement Engineering*, vol. 23, no. 6, pp. 2049–2061, May 2022, doi: 10.1080/10298436.2020.1837826.
- [5] K. Wang, K. Wang, Y. Zhu, Y. Bao, and Z. Fang, "Study of Structural Characteristics of Asphalt Overlays on Airport Pavement with Damaged Load Transfer Efficiency of Joints," *Transp Res Rec*, vol. 2676, no. 4, pp. 27–40, Nov. 2021, doi: 10.1177/03611981211056916.
- [6] M. Sakhaifar, A. Banihashemrad, G. Liao, and B. Waller, "Tyre–pavement interaction noise levels related to pavement surface characteristics," *Road Materials and Pavement Design*, vol. 19, no. 5, pp. 1044–1056, Jul. 2018, doi: 10.1080/14680629.2017.1287770.
- [7] Y. Zhang, R. Li, and J. Chen, "The Cooperative Control of Subgrade Stiffness on Symmetrical Bridge–Subgrade Transition Section," *Symmetry*, vol. 14, no. 5. 2022. doi: 10.3390/sym14050950.
- [8] D. Rys and P. Jaskula, "Effect of Overloaded Vehicles on Whole Life Cycle Cost of Flexible Pavements BT - Testing and Characterization of Asphalt Materials and

- Pavement Structures,” K. Zhang, R. Xu, and S.-H. Chen, Eds., Cham: Springer International Publishing, 2019, pp. 104–117.
- [9] A. Kavussi, M. Abbasghorbani, F. Moghadas Nejad, and A. Bamdad Ziksari, “A new method to determine maintenance and repair activities at network-level pavement management using falling weight deflectometer,” *Journal of Civil Engineering and Management*, vol. 23, no. 3, pp. 338–346, Apr. 2017, doi: 10.3846/13923730.2015.1073173.